

風化砂質土構造物の浸水とともに 急激な強さ減少に関する基礎的実験

大阪工業大学 正会員 福田 護
 ○ 大阪工業大学 学生会員 今西 肇

1. まえがき

土構造物の材料として、火成岩系風化砂質土（以後、風化砂質土と称す）がよく利用される。この構造物が浸水を受けるとせん断抵抗が急激に減少し、ときには破壊を生ずることがある。この抵抗減少の主たる理由は、土粒子間のメニスカスの消失による吸着力の減少および土粒子の相対的移動に起因するものと考える。抵抗減少の性状はまた、土の応力履歴条件および締固め程度によって特長がある。本報告では、供試土の応力履歴を正規圧縮状態と過圧縮状態に整理し、注水によるひずみ性状を主点とした、初期的な実験結果を示す。

2. 抵抗減少の説明

この現象機構を図・1のように直接せん断試験方法を利用して説明する。Dとてが一定な状態とすると、モールド中の不飽和供試土は①点で静止状態にあり、 $\tau = S_{\text{（注水前）}}$ となる。この供試土に注水すると、上記の理由によりひずみ(ϵ_R)を生じ、②点で静止または静止することなく破壊する。ここにおいて、ひずみ進行中のせん断強さを考えると、 $\tau_{\text{（注水前）}} < \tau_{\text{（ひずみ進行中）}}$ となる。以上のように、浸水によるひずみの発生とともに、 $\tau > S_{\text{（ひずみ進行中）}}$ となり急激なせん断抵抗減少を説明することができよう。

3. 試料と実験装置

風化土試料としては、比較的風化の進んだマサ土を使用した。図・2は、新しく考案した試験装置を示す。不飽和供試土は、一定垂直応力のもとで一定のせん断応力が加えられたのち、底板ポーラスストーンを通じて注水し、ひずみ量をダイヤルゲージで、またナットを適宜調整することによって任意のひずみ点における（注）塑性圧縮状態、弾性圧縮状態と呼ぶ方が適當かも知れないが、現在のところ上記の名称を用いる。

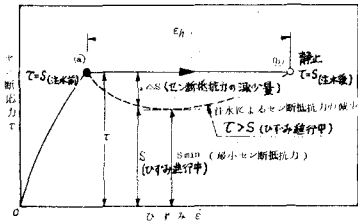


図-1 注水によるせん断強さ減少の説明

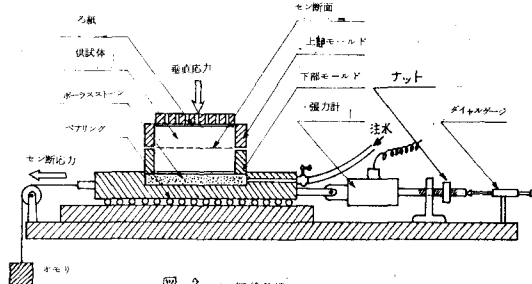


図-2 セン断試験機

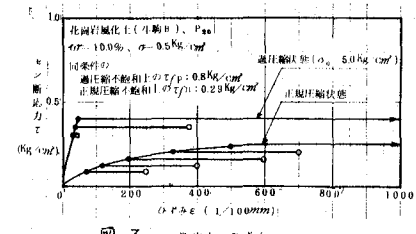


図-3 断面力とひずみ

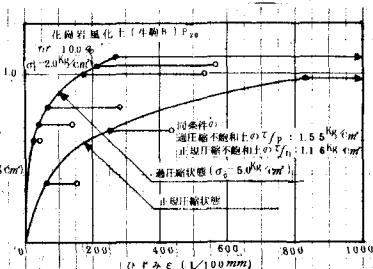


図-4 セン断力・ひずみ

セん断抵抗減少量 ΔS を張力計で測定することができる。

4. 実験結果とその考察

注水による試験結果の代表的な例を図・3～5に示す。図をよくみると、注水によるひずみ性状は応力履歴条件に大きく支配されることがわかる。総じて、過圧縮土の注水セん断抵抗力は、同値垂直応力下で、正規圧縮土のそれよりも大である。ここで J_0 を先行荷重とし、過圧縮土を 100% とする。この比が大なる場合、例えば $J_0 = 10$, $\sigma = 0.5\text{ kN/cm}^2$ の注水ひずみ性状をみると(図-3), 正規圧縮土の ϵ_{sv} は、 σ の増加とともに逐次大となる。

これに対し、過圧縮土の ϵ_{sv} は 0.3 kN/cm^2 以下のままでほとんどみられず、 0.3 kN/cm^2 の値を若干越すと急激に ϵ_{sv} が大となり、ついで破壊を生ずる。しかし、過圧縮土でも σ/ϵ_{sv} の値が小となるほど、図・5 のように正規圧縮土の ϵ_{sv} 性状に類似する。正規圧縮土、過圧縮土それぞれの注水によるセん断破壊線について、前者は未だ不明確で割愛するが、後者は図-7 のように示すことができる。図からわかるように注水によるセん断破壊値が、正規圧縮不飽和土の T_{IP} 値にほぼ等しくなることに注目される。ここにおいて、注水によるセん断破壊値と σ と等しいとすると $T_{IP} = \sigma/J_0$ となり、少なくともセん断強さは $\Delta S (\equiv \Delta T)$ だけ減少することになる。このことはまた、不飽和土が除荷されることによって生じた強度増加量 (ΔS) が注水により消失したこと意味しよう。そして過圧縮比の大なる土では、図・6 のように注水時ほとんど体積変化を生じないものとするならば、注水による粒子間のメニスカスの消失が、強度減少量に大きく関与しているものと考えられる。

5. あとがき

以上、正規圧縮・過圧縮状態供試土のひずみ性状を概念的に把握することができたので、つぎには先に述べた通り注水によるセん断抵抗力 ΔS に関する基礎的研究を進める予定である。なお、本研究について京大・松尾新一郎教授を委員長としたマサ土委員会、方々に種々御示唆いただき感謝の意を表します。

参考文献； 1). 風化砂質土構造物の浸水による急激なセん断強度減少について、
福田謹、浦上學、土木学会関西支部年次学術講演会概要集、Ⅲ-1-1～2、昭和43年6月。

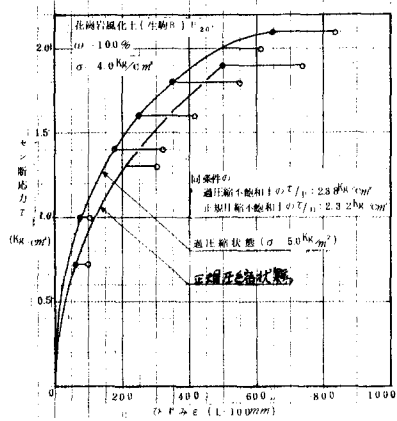


図-5 セン断抵抗力とひずみ

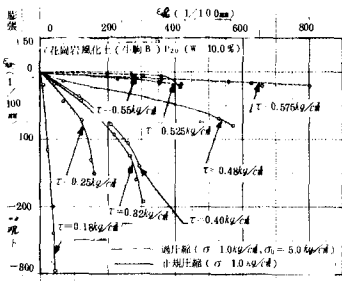


図-6 ダイレクション

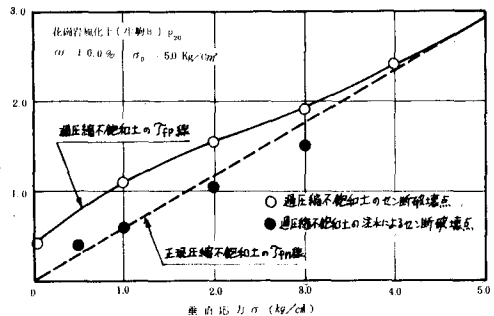


図-7 過圧縮状態の土の注水によるセん断強度